

К 68

ИНСТИТУТ ЯДЕРНОЙ ФИЗИКИ СИБИРСКОГО ОТДЕЛЕНИЯ АН СССР

препринт 62

Л.С.Коробейников, Л.М.Курдадзе, А.П.Онучин,
С.Г.Попов, Г.М. Тумайкин,

**Получение монохроматических γ -квантов
на электронном накопителе**



НОВОСИБИРСК 1966

4

111

АННОТАЦИЯ

Методом выделения узкого интервала энергий из тормозного спектра получен пучок монохроматических γ -квантов на электронном накопителе ВЭИ-1. Мишень и счетчик вторичных электронов находятся в магнитном поле накопителя. Измерения проведены при четырех значениях энергии электронов 43, 70, 100 и 135 Мэв с мишенями толщиной 1/20 и 1/900 радиационной единицы. Скорость счета γ -квантов и угловые размеры пучка согласуются с расчетом. С помощью данного пучка γ -квантов проведена калибровка счетчиков полного поглощения, использованных в эксперименте по двойному тормозному излучению.

ВВЕДЕНИЕ

Среди известных методов получения γ -квантов /1-6/ практически только метод выделения узкого интервала энергий из тормозного спектра /2,3/ позволяет получать большие интенсивности с плавным изменением энергии в диапазоне десятков и сотен Мэв и с шириной линии $\sim 1\%$. Конкурирующий метод аннигиляции позитронов на лету /4/ дает γ -линию, сопровождаемую тормозным спектром; кроме того, выход γ -квантов на 1 ускоренный электрон на несколько порядков ниже, чем в предыдущем методе.

Сущность метода выделения линии из тормозного спектра состоит в следующем. Пучок моноэнергетических электронов падает на мишень и дает тормозное излучение. Зная энергию первичного электрона и измеряя энергию вторичного электрона, определяют энергию γ -кванта. Регистрируя совпадение между продуктом реакции, вызванной γ -квантом, и вторичным электроном, отождествляют событие с γ -квантом определенной энергии. Энергетическое разрешение определяется разрешающей способностью бета-спектрометра и толщиной мишени. Предел интенсивности выделенного пучка γ -квантов определяется допустимой загрузкой счетчиков электронов и γ -квантов. Линейные и циклические ускорители работают со скважностями порядка $10^4 + 10^1$. Из-за этого средние интенсивности γ -квантов приходится снижать пропорционально скважности.

В данной работе изучалась возможность использования техники накопителей электронов, развитой в работах со встречными пучками. Основное достоинство накопителя в данном случае заключается в том, что можно сделать пучок электронов почти непрерывным во времени и тем самым повысить среднюю допустимую интенсивность γ -квантов.

Работа проведена на электронном накопителе ИЯФ СО АН СССР на энергию 135 Мэв /7/. Принцип эксперимента показан на рис.1. В момент инжекции электронов равновесная орбита (2) расположена в середине апертуры. Затем с помощью коррекции магнитного поля и частоты ускоряющего напряжения равновесная орбита сдвигается (3) к мишени (4) так, что основная гибель электронов происходит на мишени. Мишень и сцинтилляционный счетчик (5) расположены в области однородного магнитного поля и представляют собой спектрометр с фокусировкой на 180° . Отношение радиуса кривизны рассеянного γ -кванта к радиусу равновесной орбиты равно 0,06. Энергетический разброс

регистрируемых электронов, определяемый радиальным размером β -счетчика (5 мм), составляет $\pm 5\%$. Таким образом, при энергии первичного электрона 100 Мэв энергия γ -кванта равна 94 Мэв и ширина линии должна составлять $\pm 0,3$ Мэв. Размер мишени в радиальном направлении составляет 1 мм и не вносит вклада в ширину линии. Толщина мишени, в основном, ограничивается разбросом потерь энергии и многократным рассеянием вторичных электронов. Измерения были проведены с мишенями толщиной 0,1 мм алюминия ($1/900 X_0$) и 0,1 мм платины ($1/20 X_0$).

Аппаратура

Схема расположения элементов эксперимента показана на рис. 2. Мишень (2) и сцинтиллятор (3) β -счетчика вводятся через 13 мм щели в магните. Мишень можно плавно перемещать в радиальном направлении без нарушения вакуума.

Сцинтиллятор сделан из полистирольной пластмассы размерами $5 \times 20 \times 8$ мм³ соответственно в радиальном, аксиальном и азимутальном направлениях. Для вывода света от сцинтиллятора и отделения сцинтиллятора от вакуума накопителя используется трубка из нержавеющей стали. Толщина стенки трубки перед сцинтиллятором составляет 0,2 мм. Чтобы не ограничивать рабочую апертуру накопителя, трубка сделана с двумя прямоугольными коленами. Вывод света из такой системы представил значительные трудности. В районе сцинтиллятора и части 4 трубка внутри покрыта белой краской, а дальше свет передается с помощью световода из плексигласа (5) длиной 0,5 метра. Измерения с Co^{60} показали, что коэффициент сбора света составляет, примерно, 1%. Это означает, что от проходящего электрона через сцинтиллятор в ФЭУ должно выделяться около 10 фотоэлектронов. В β -счетчике использовался фотоумножитель ФЭУ-30 при повышенном напряжении, чтобы обеспечить необходимую амплитуду I в на 75-омный кабель. Рабочие импульсы по амплитуде были сравнимы с собственными шумами ФЭУ.

Для определения эффективности регистрации электронов была измерена форма спектра амплитуд импульсов с β -счетчика, результаты измерений представлены на рис. 3. Стрелкой указан порог регистрации дискриминатора D_β (рис. 4). По соотношению площадей видно, что эффективность регистрации, обусловленная электроникой, составляет $\epsilon_\beta \approx 40\%$.

Регистрация γ -квантов производилась сцинтилляционным счетчиком с кристаллом иодистого натрия цилиндрической формы диаметром 15 см и высотой 15 см [8]. Свет собирался на фотоумножитель ФЭУ-65. Счетчик окружен свинцовой защитой толщиной 15 см с коллиматором для прохождения γ -квантов. В работе использовались два коллиматора с диаметром отверстия 9 и 3 см. После коллиматора стоит пластмассовый сцинтилляционный счетчик, включенный в режим антисовпадений для исключения регистрации заряженных частиц.

Блок-схема электроники приведена на рис. 4. Использован быстро-медленный вариант. Разрешающее время схемы совпадений от Co^{60} составляет $2\tau = 7$ нсек.

Толщина мишени

Перед тем, как обсуждать результаты измерений, рассмотрим качественно зависимость интенсивности интересующих нас γ -квантов от толщины мишени.

Если рассматривать одно прохождение через мишень и большие размеры β -счетчика, то зависимость будет представлена прямой линией с загибом при больших толщинах из-за вторичных процессов. Для конечного размера β -счетчика многократное рассеяние вторичных электронов приводит к снижению скорости счета, и при больших толщинах зависимость имеет вид $\sim \sqrt{t}$ (здесь t - толщина мишени), причем многократное рассеяние в радиальном направлении приводит к уширению γ -линии.

При малых толщинах зависимость тоже отличается от линейной, так как появляется большая вероятность того, что электрон пройдет через мишень несколько раз. Число прохождений определяется углом многократного рассеяния от одного прохождения θ_1 и максимально допустимым углом θ_{max} по бетатронным колебаниям. У нас оказалось удобно из соображений уменьшения фона ввести специальное ограничение апертуры по радиусу на определенном азимуте. При этом максимальный угол равен $\theta_{rmax} = A\sqrt{1-n}/R$, где A - допустимая амплитуда колебаний, $n = 0,6$ - показатель спада магнитного поля, R - радиус равновесной орбиты. В области малых толщин мишени, когда $\theta_1 \ll \theta_{max}$, выход γ -квантов N_γ/N_e не зависит от толщины мишени. Многократное рассеяние и потери

энергии в мишени приводят к бетатронным колебаниям. Если амплитуда колебаний меньше расочей амплитуды, то в среднем через три оборота электрон снова заденет за мишень. Точный расчет полного числа проходов не производился. Для грубых оценок среднего числа проходов можно пользоваться углом многократного рассеяния после

N проходов через мишень $\theta_{max} = \sqrt{N} \theta_1$. В нашем случае ограничивающей апертуру пробник располагался на расстоянии четверти длины радиальных бетатронных колебаний после мишени и в 10 мм от пучка. При этом максимально допустимый угол составляет $\theta_{rmax} = 0,8^\circ$. При энергии электронов 100 Мэв и толщине мишени 0,1 мм алюминия $\theta_1 \approx 0,2^\circ$. Таким образом, среднее число проходов электрона через мишень должно составлять $N \approx 15$. Для второй мишени толщиной 1/20 X_0 условия соответствуют положению на участке $\sim \sqrt{t}$.

Две толщины мишени были выбраны для выяснения экспериментальных условий работы с малыми и большими толщинами. Под экспериментальными условиями в данном случае понимается выход γ -квантов N_γ/N_e и соотношение эффект-фон. Источником фона, кроме случайных совпадений, являются коррелированные события двух типов. Во-первых, те случаи, когда энергия вторичного электрона, вышедшего из мишени, больше требуемой и этот электрон в результате рассеяния на стенах камеры попадает в β -счетчик. Во-вторых, события, которые дает электрон в результате соударения со стенками камеры, а не с мишенью. Эти события в основном вызваны электронами, вышедшими из пучка за счет соударения с мишенью и продолжающими совершать обороты. Ясно, что при больших толщинах мишени должны преобладать фоновые эффекты первого типа, а при малых толщинах - фоновые эффекты второго типа. По-видимому, для получения оптимальных условий соотношения эффекта и фона толщину мишени следует выбирать такой, чтобы при данных размерах β -счетчика эффективность регистрации вторичных электронов, обусловленная многократным рассеянием в мишени, была близка к 100%.

Приведем теперь для указанных выше толщин мишени ожидаемый выход γ -квантов. Для удобства рассмотрим работу при энергии 100 Мэв. Вероятность рождения γ -кванта с энергией $94 \pm 0,3$ Мэв на 1 X_0 составляет $W_1 = 3,5 \cdot 10^{-3}$. Мишень подводится к пучку на такое расстояние, что время жизни пучка падает в два раза, т.е. половина всех электронов гибнет в результате соударения с мишенью ($W_M = 1/2$). В случае мишени $t = 1/900 X_0$ угол многократного

рассеяния вторичных электронов меньше размера счетчика, поэтому эффективность регистрации вторичных электронов $\epsilon_\beta = 1$. Эффективность регистрации электроники $\epsilon_\gamma = 0,4$. С учетом 15-кратного прохода через мишень выход γ -квантов равен

$$N_\gamma/N_e = W_M \cdot W_1 \cdot t \cdot N \epsilon_\beta \epsilon_\gamma \approx 10^{-5} \quad (1)$$

Точность этой цифры, по-видимому, около 2, из-за плохого знания N . Для мишени $t = 1/20 X_0$ многократное рассеяние приводит к $\epsilon_\beta \approx 1/3$ и

$$N_\gamma/N_e \approx 10^{-5} \quad (2)$$

Результаты измерений

Измерения проведены при четырех значениях энергии первичных электронов 43, 70, 100 и 135 Мэв. Инжекция в накопитель ведется при энергии 43 Мэв, затем увеличением магнитного поля накопителя электроны ускоряются до нужной энергии. Рассмотрим для определенности работу при 100 Мэв с мишенью 0,1 мм алюминия. После подъема энергии с помощью коррекции магнитного поля и частоты ускоряющего напряжения пучок сдвигается к мишени на расстояние 5 мм, при этом время жизни пучка составляло около 70 сек. В отсутствие мишени время жизни равнялось, примерно, 200 сек. Для уменьшения ада-эффекта /9/ пучок искусственно раскачивался по радиусу до 3 мм.

Измерения начинались при токе 1 ма ($6 \cdot 10^7$ электронов) и занимали около 150 сек. Затем цикл повторялся снова. Работу при больших токах ограничивала схема формирования временного импульса в γ -счетчике. Установка позволяет поднимать токи до 100 ма. При токе 1 ма загрузка γ -счетчика для порога 3 Мэв составляла 10 кгц, загрузка β -счетчика для рабочего порога (рис.3) - около 0,5 мгц. При этом загрузка от собственных шумов ФЭУ β -счетчика лежала в диапазоне от 3 до 15 кгц (изменение во времени). Кривая задержанных совпадений приведена на рис.5. Как видно из рисунка, случайные совпадения составляют около 20%.

На рис.6 представлены результаты измерения угловых размеров пучка. Измерения делались с коллиматором $\varnothing = 30$ мм. В ширину кри-

ной дает вклад три эффекта:

1) естественный угловой размер тормозного спектра /10/

$$d\delta/d\Omega \sim \frac{1}{[1+(\gamma\theta)^2]^2}$$

2) бетатронные колебания периферических электронов дают смещение до 20 мм в радиальном направлении и 19 мм в аксиальном направлении,

3) ширина щели коллиматора. С учетом этих эффектов экспериментальные результаты находятся в согласии с расчетом.

На рис.7 приведены спектры амплитуд импульсов со счетчика $NaJ(Te)$. Фон случайных совпадений не вычтен, так как он дает малый вклад. Подъем кривой в области малых каналов обусловлен корреляционным фоном, источники которого уже обсуждались ранее. На рис.7б приведены графики зависимости амплитуды от энергии γ -квантов, построенные по результатам калибровки (кривая 1) и в предположении 100% поглощения энергии (кривая 2). Из сравнения этих графиков видно, что в $NaJ(Te)$ поглощается около 70% энергии. Отклонение от линейного закона при энергии выше 100 Мэв обусловлено заметным выходом энергии в задний торец. Эти данные согласуются с результатами Канда и Хофштадтера по измерению развития ливней /11/. Ширина линий на полувысоте согласуется с оценками флуктуаций энергии, выходящей из кристалла.

На рис.8 приведен спектр с коллиматором $\varnothing = 30$ мм. Видно, что разрешение стало лучше. Сужение кривой обусловлено тем, что теперь исключились ливни, которые начинались у края кристалла и давали большие потери энергии.

В спектрах, измеренных с мишенью толщиной $1/20 X_0$, больше фона в области малых каналов. В остальном они аналогичны рассмотренным (рис.9).

Полное число отсчетов за 1 цикл равнялось 700 для алюминиевой мишени и 1000 - для платиновой, что хорошо согласуется с расчетом (1,2).

Таким образом, видно, что выход γ -квантов и угловые размеры пучка соответствуют расчету. Для измерения энергетической ширины γ -линии нужна работа с парным спектрометром.

Рассмотрим в заключение вопрос о том, какую максимальную интенсивность γ -квантов можно иметь на данной установке. За счет

увеличения радиального размера β -счетчика до 15 мм выход γ -квантов вырастет в 3 раза, при этом ширина γ -линии будет составлять $\pm 1\%$. С помощью другой конструкции световода β -счетчика можно увеличить соображение света и довести эффективности электроники до 1. Уменьшая расстояние от пучка до мишени, можно сократить время жизни пучка и на мишень заводить не половину начальных электронов, а почти все. Эти изменения на порядок поднимают выход γ -квантов. И два порядка дает работа с током 100 ма. Таким образом, за один цикл можно иметь 10^6 γ -квантов с шириной линии $\pm 1\%$. Цикл будет занимать около 100 сек. При этом около половины времени будет уходить на измерение, а оставшееся - на накопление частиц и опускание и подъем поля. В случае работы при энергии инжекции около 90% времени может занимать измерение и средняя интенсивность γ -квантов будет в несколько раз выше.

Л и т е р а т у р а

1. О.Б.Богданович, Ф.А.Николаев. Работа с пучком тормозного излучения. Атомиздат, 1964.
2. J.S. O'Connell, P.A. Tipper, P. Axel, *Phys. Rev.* **126**, 228 (1962)
3. В.П.Агафонов, Б.Б.Говорков и др. Приборы и техника эксперимента, **5**, 47 (1962).
4. К.Тзара. Ядерные реакции при малых и средних энергиях. Труды Всесоюзной конференции, 1957 г., стр.482.
5. Überall H. *Phys. Rev.*, **103**, 1055 (1956)
6. Ф.Р.Арутюнян, В.А.Туманян. УФН, **83**, 3 (1964).
7. Г.И.Будкер, А.А.Наумов и др. Международная конференция по ускорителям, Дубна, 1963 г., стр.274.
8. Г.И.Будкер, В.А.Кушниренко и др. Ат.энергия, **19**, 498 (1965).
9. Онучин А.П., Попов С.Г., Сидоров В.А. Двойное тормозное излучение в электронных столкновениях. Доклад на конференцию в Орсе, 1966.
10. Экспериментальная ядерная физика под редакц.Сегре, т.1. Иностранная литература, 1955.
11. Kautz A., Hofstadter R., *Nucleonics* **12**, N3, 36, 1954.

Подписи к рисункам

- Рис.1. Принцип метода:
1 - сечения магнитов, 2 - равновесная орбита в момент инъекции электронов (радиус 43 см), 3 - рабочая равновесная орбита, 4 - мишень, 5 - счетчик электронов, 6 - защита электронного счетчика.
- Рис.2. Расположение элементов эксперимента:
I - магниты накопителя, 2 - мишень, 3 - сцинтиллятор, 4 - трубка световода, 5 - плексигласовый световод, 6 - кристалл $NaJ(Te)$, 7 - ФЭУ-65, 8 - корпус счетчика, 9 - магнитный экран, 10 - свинцовая защита, II - коллиматор, 12 - пластмассовый сцинтилляционный счетчик размерами $200 \times 200 \times 30 \text{ мм}^3$, 13 - стекло толщиной 10 мм.
- Рис.3. Спектр амплитуд импульсов с β -счетчика, собственные шумы ФЭУ вычтены. Измерения сделаны с помощью одноканального дифференциального анализатора. При измерениях использовался пучок электронов нижней дорожки.
- Рис.4. Блок-схема электроники: β - счетчик вторичных электронов, γ - счетчик γ -квантов с кристаллом $NaJ(Te)$, С - пластмассовый счетчик, А и Д - выходы с анода и динода ФЭУ соответственно для временного и амплитудного анализа, БС - быстрая схема совпадений, МС - схема тройных совпадений с разрешающим временем 1 мксек, ЛЗ - линия задержки с шагом 0,5 нсек, D_γ и D_β - интегральные дискриминаторы по каналам γ и β -счетчиков, СII - схема пропускания $1 + \bar{2}$, D_1 - выход для амплитудного анализа. Выход N_4 используется для внешнего управления многоканального анализатора АН-100.
- Рис.5. Кривая задержанных совпадений при энергии 100 мэв. Нормировка делалась на начальный ток. Время измерения точки 100 сек.

Рис.6. Угловые размеры пучка γ -квантов при энергии 100 Мэв с мишенью $I/900 \text{ X}_0$:

1 - сдвиг счетчика в радиальном направлении, 2 - сдвиг счетчика в аксиальном направлении. Расстояние от счетчика до мишени 210 см.

Рис.7. а) Спектры амплитуд импульсов со счетчика $\text{NaJ}(\text{Te})$, измеренные с мишенью $0,1 \text{ мм Al}$, коллиматор $\varnothing 90 \text{ мм}$. Цифры на кривых указывают энергию начальных электронов.

б) 1 - зависимость амплитуды от энергии γ -квантов, построенная по данным 8а, 2 - зависимость амплитуды от энергии γ -квантов в случае 100% поглощения энергии в кристалле, построенная по данным измерений с Zn^{65} .

Рис.8. Спектры амплитуд импульсов со счетчика $\text{NaJ}(\text{Te})$; мишень $0,1 \text{ мм Al}$:

1 - с коллиматором $\varnothing = 90 \text{ мм}$,
2 - с коллиматором $\varnothing = 30 \text{ мм}$.

Рис.9. Спектр амплитуд импульсов со счетчика $\text{NaJ}(\text{Te})$; мишень $0,1 \text{ мм Pt}$.

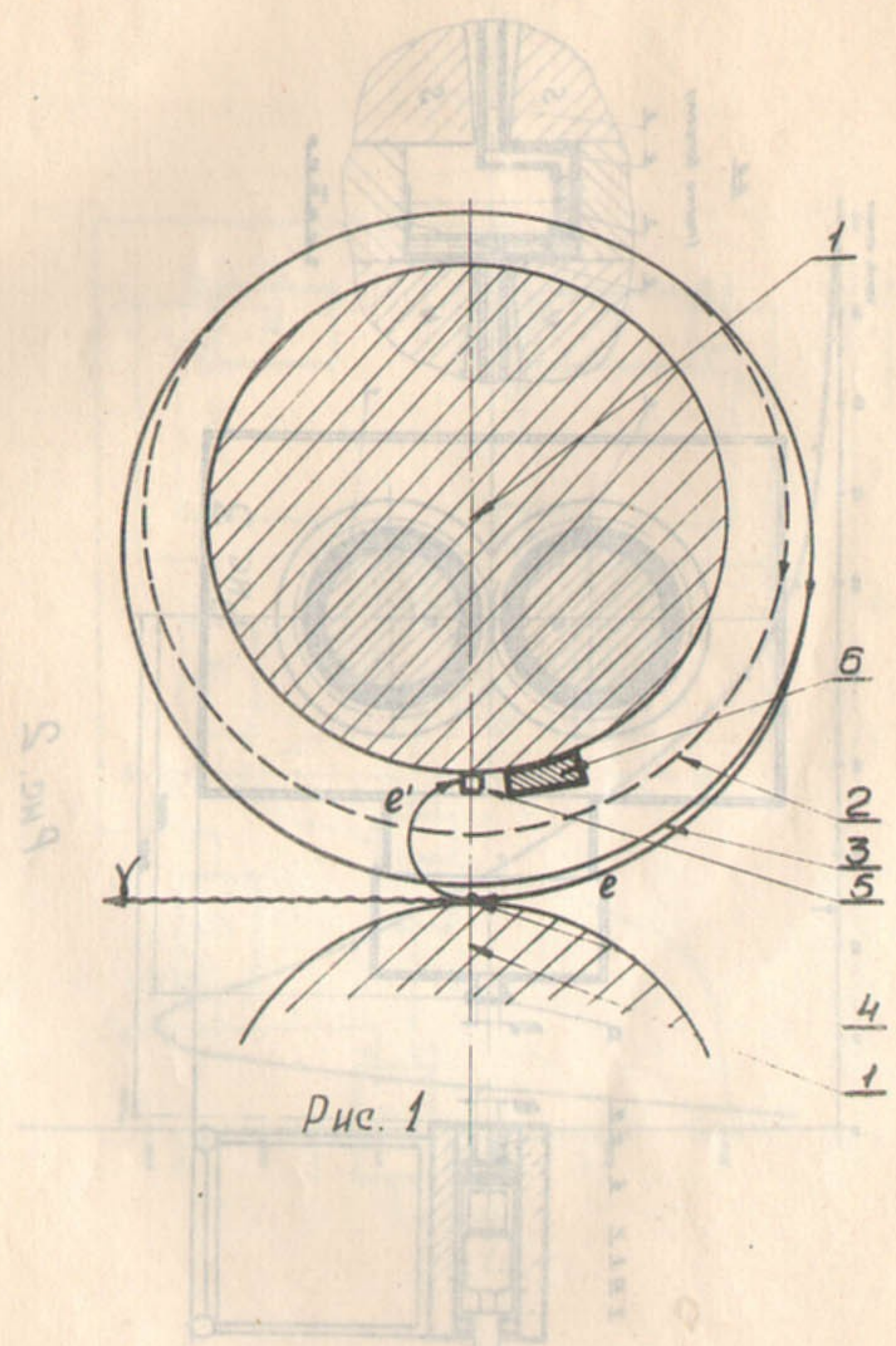


Рис. 1

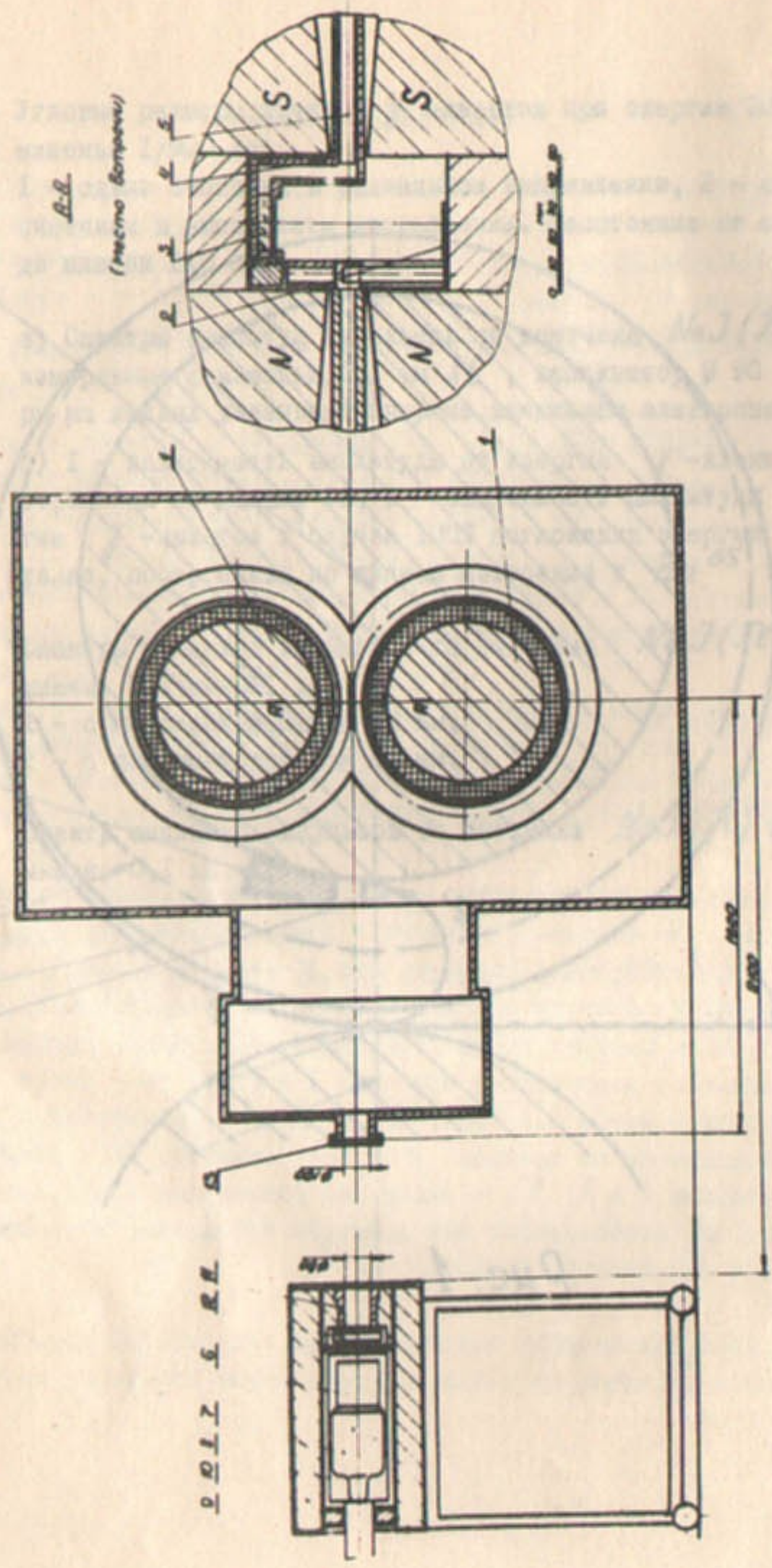
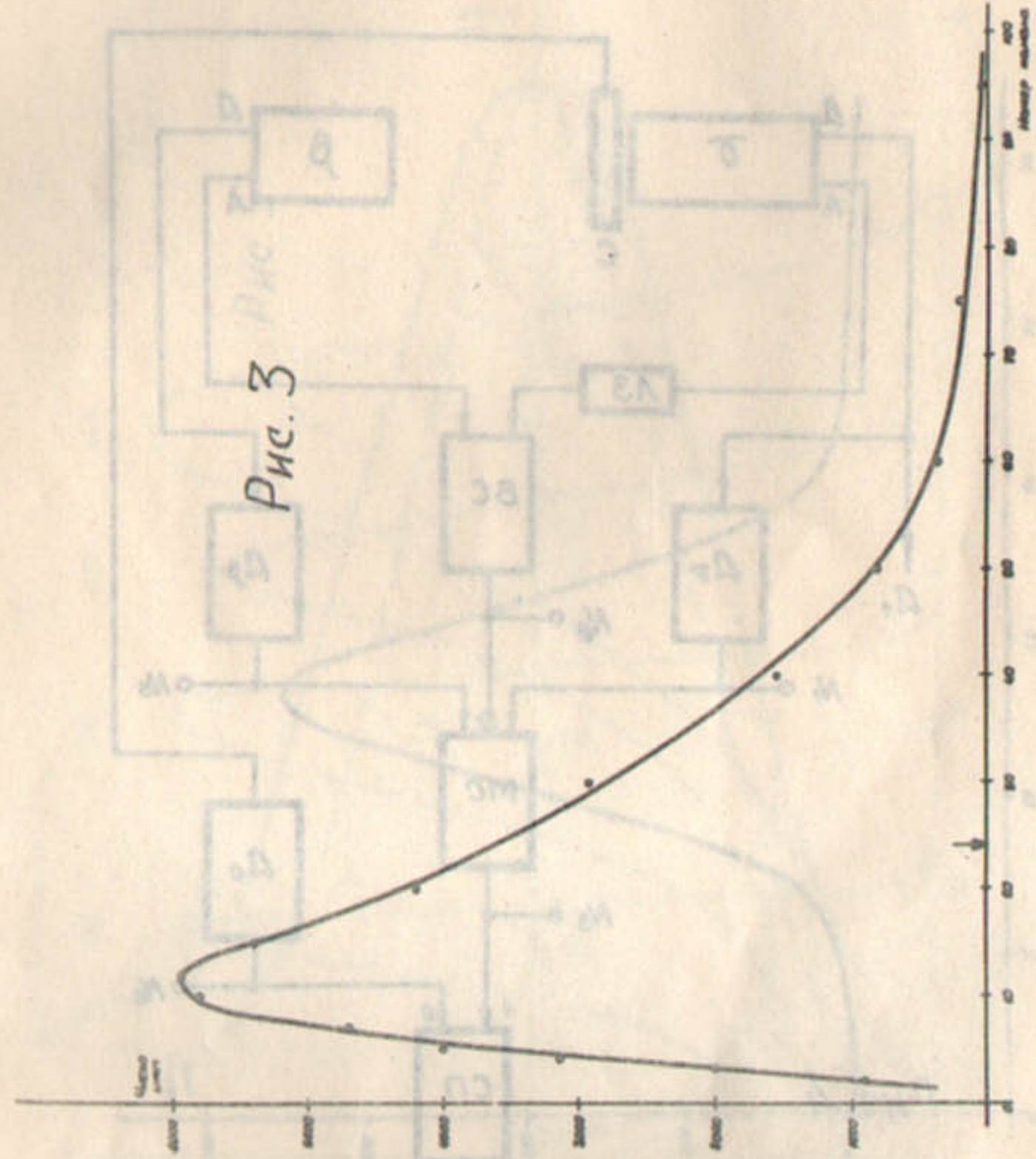


Рис. 2



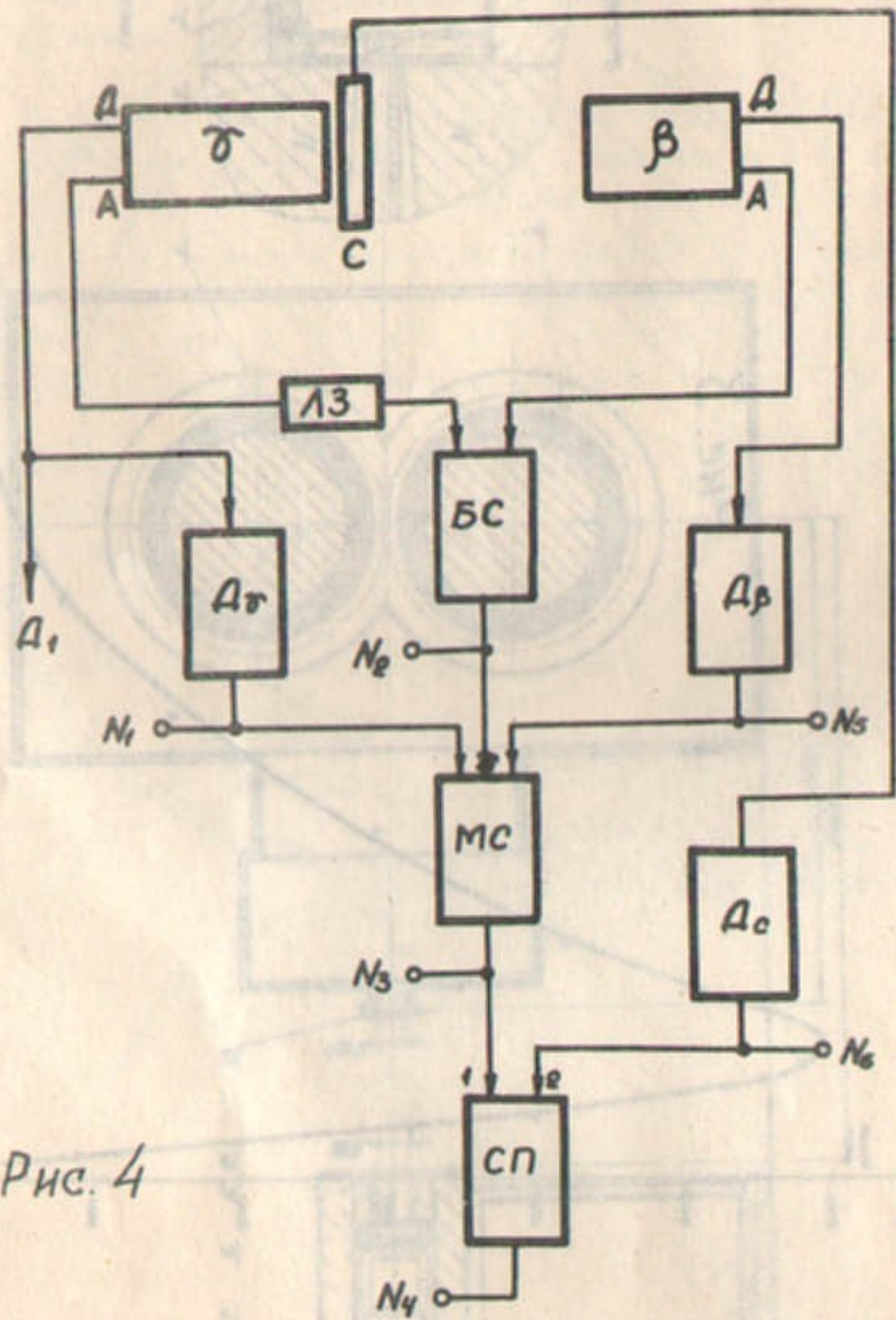


Рис. 4

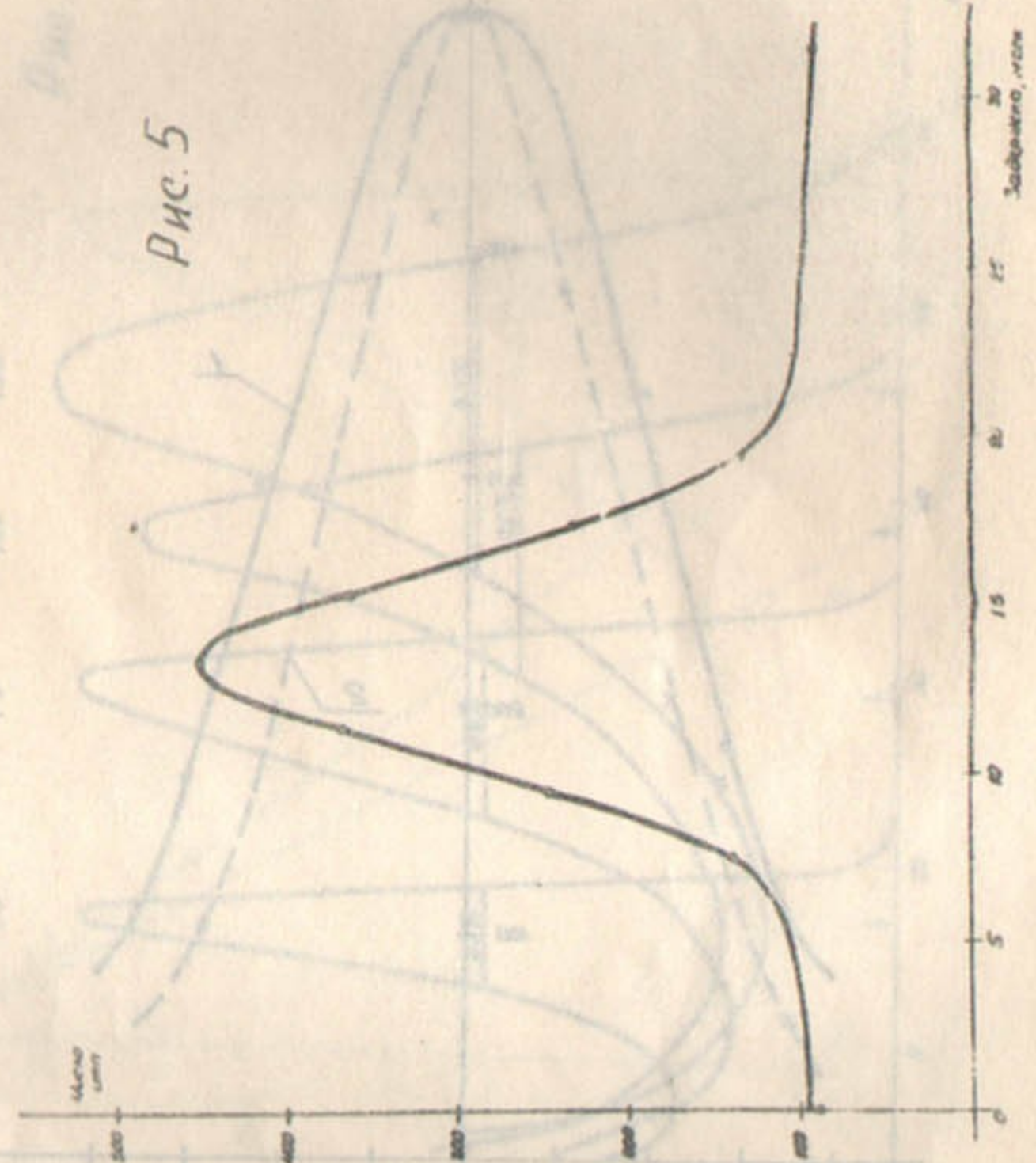


Рис. 5

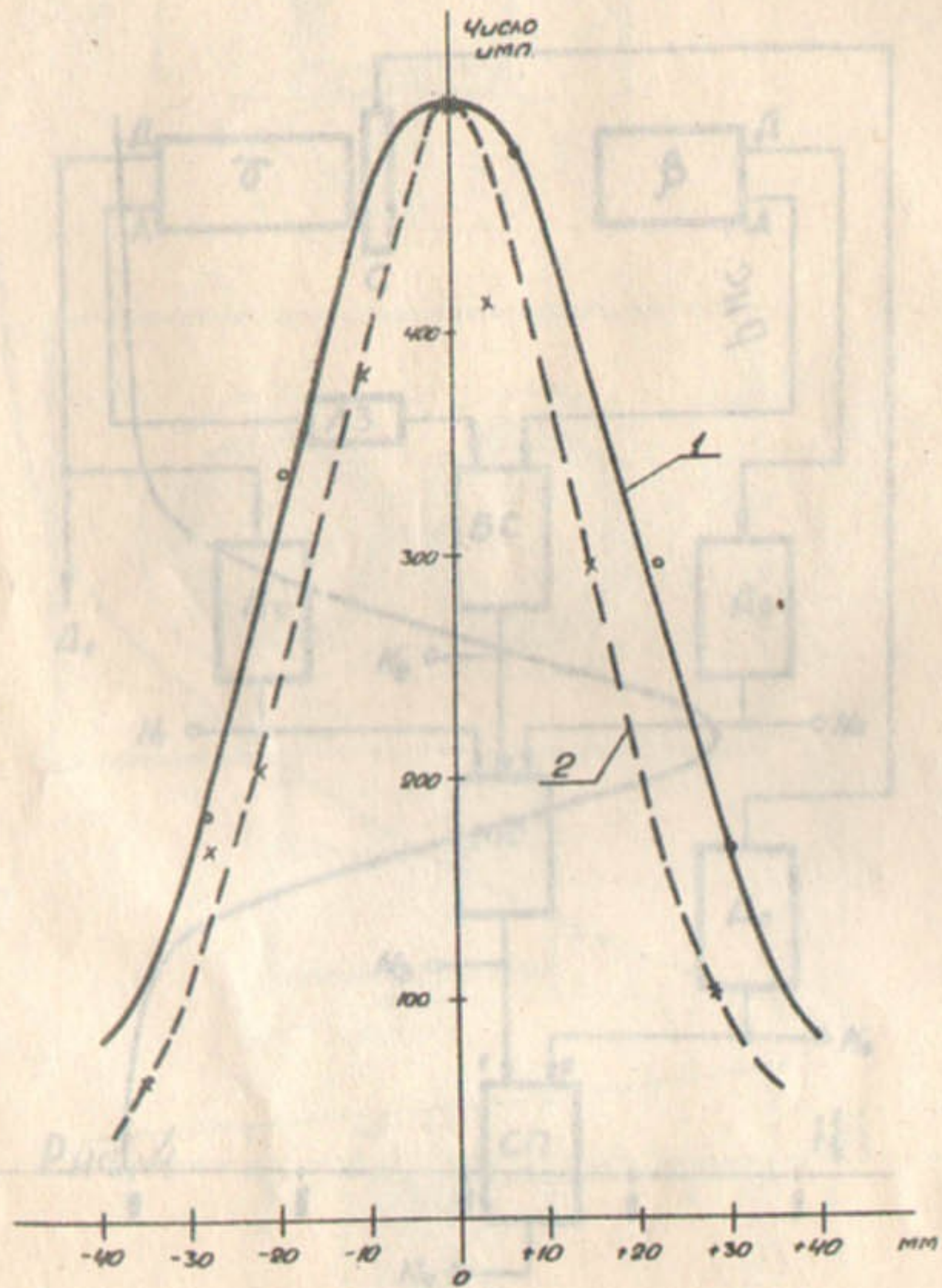


Рис. 6

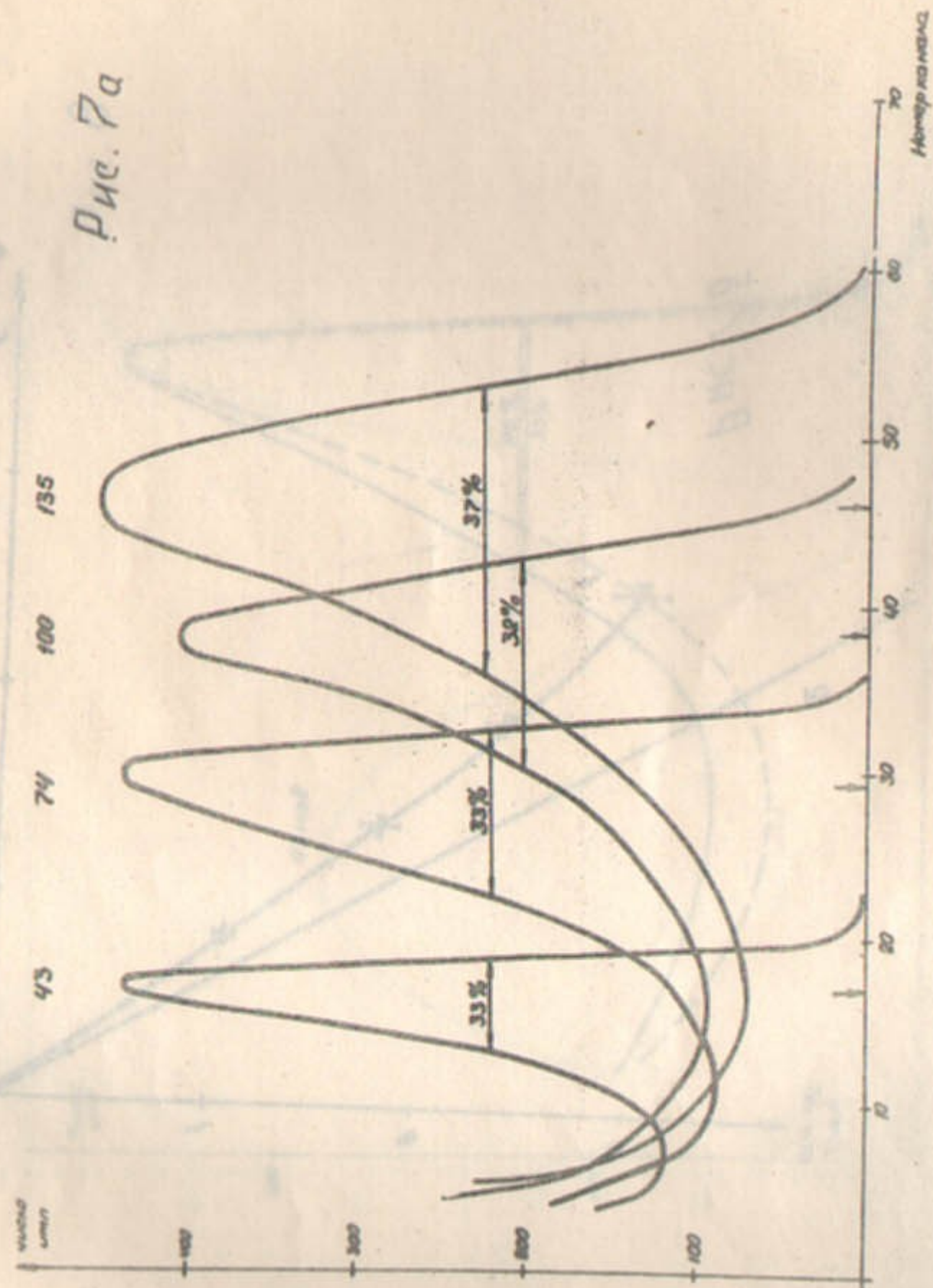
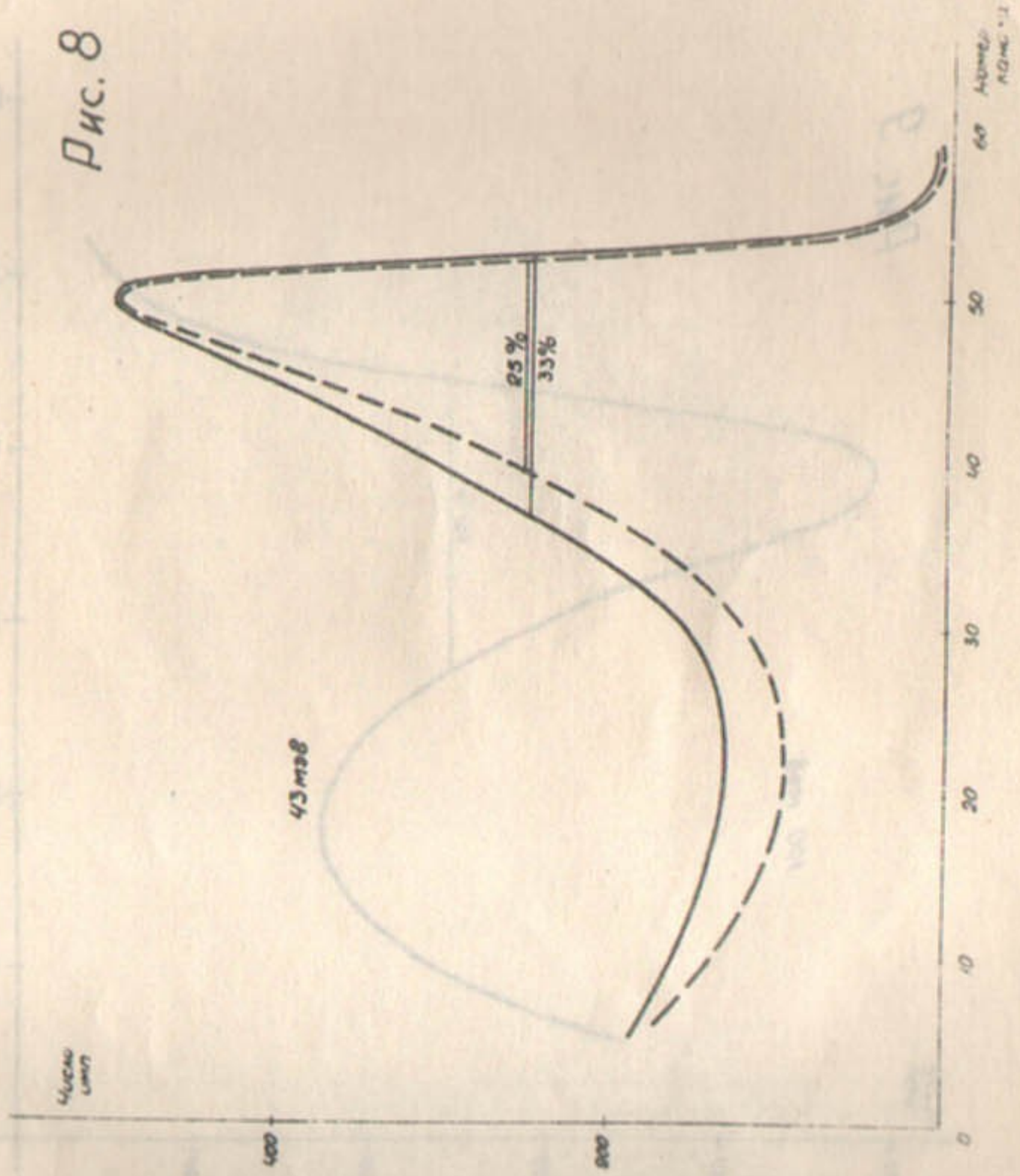
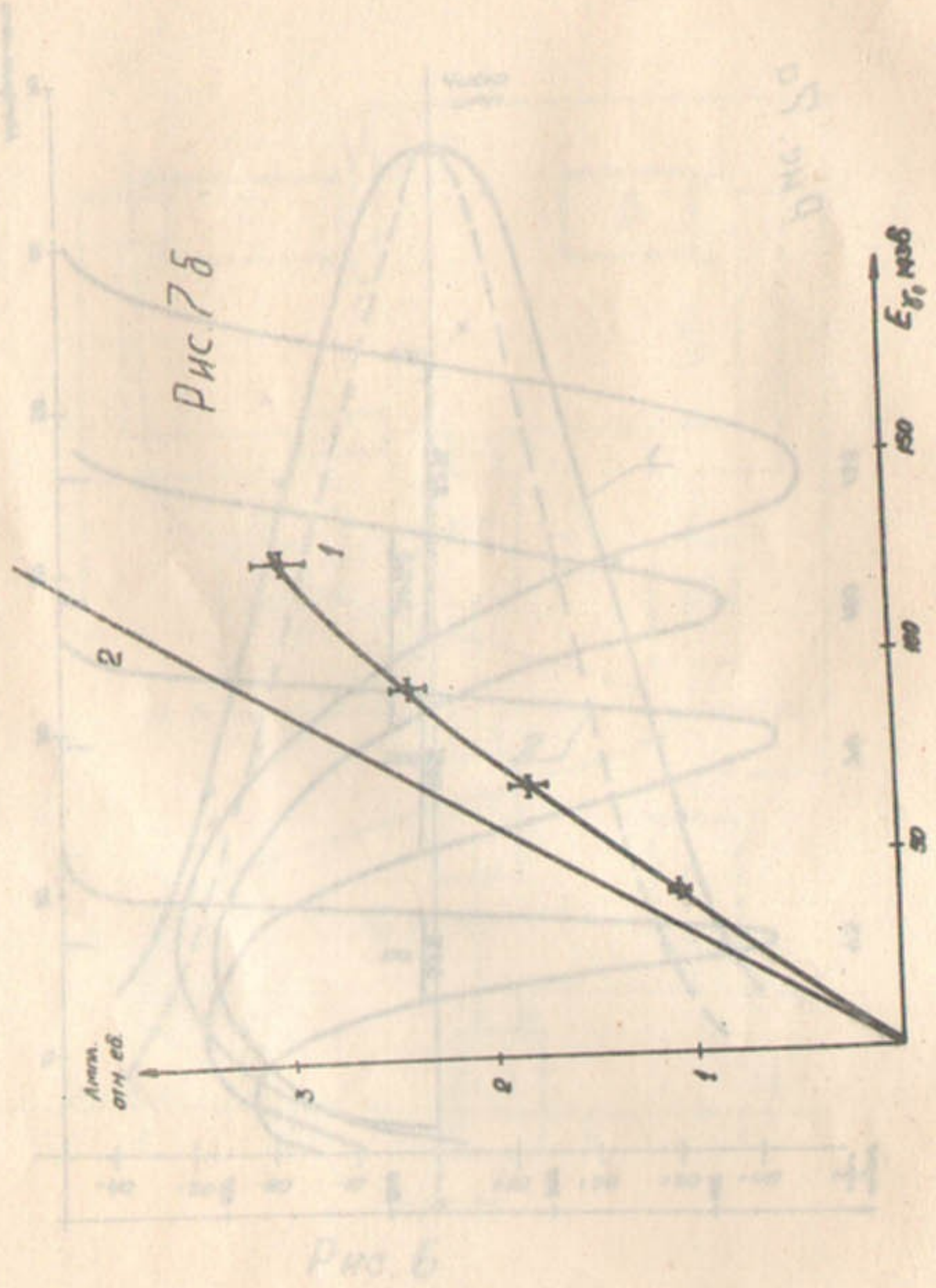
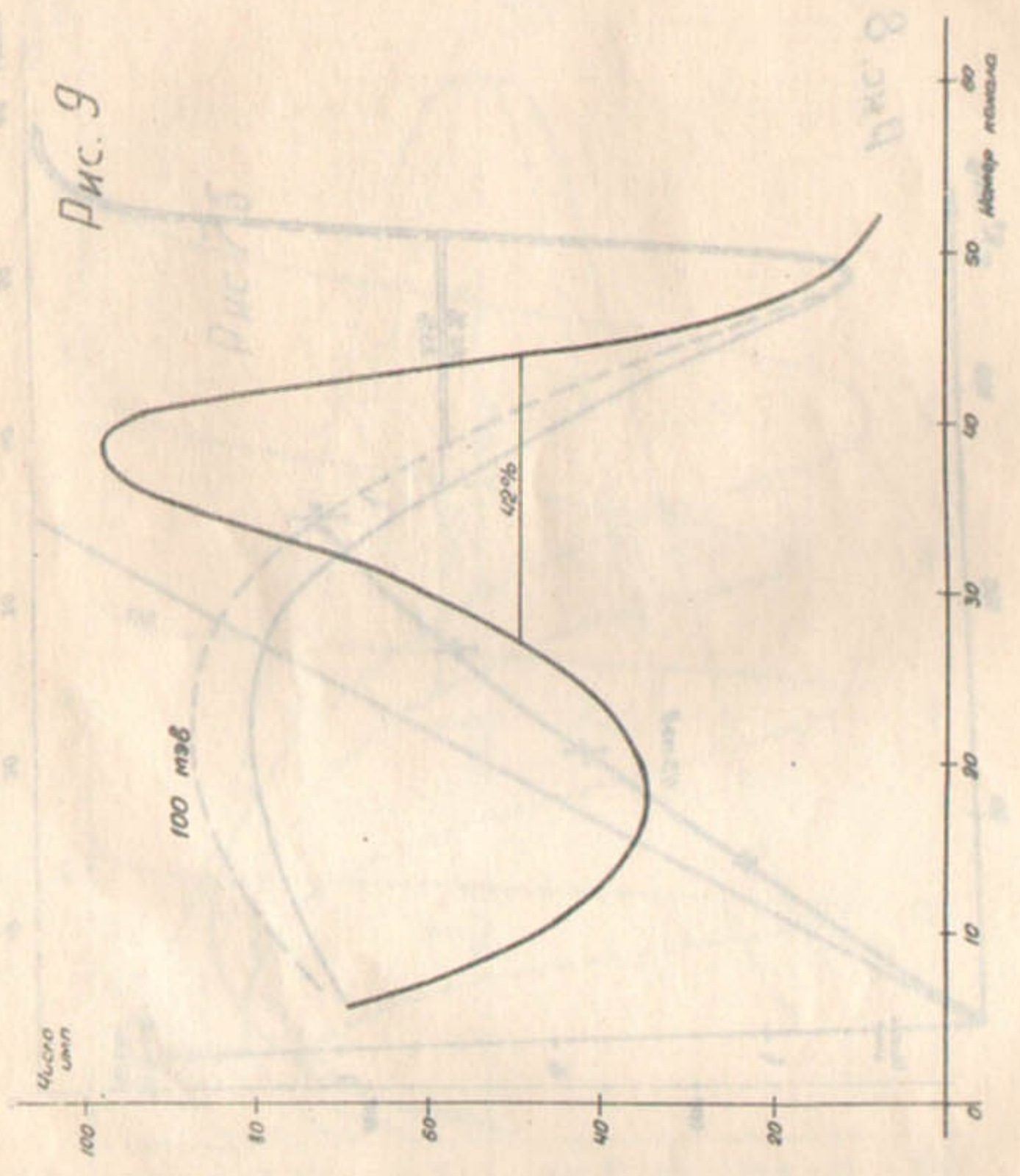


Рис. 7а





Всесоюзный институт автомобильного транспорта
 Москва, ул. Мясницкая, д. 25
 1950 г.